

# TPs de Vision

*Elio Genson*

## Table des matières

TPs de Vision .....	1
TP1 - <b>Caractérisation fréquentielle de la texture</b> .....	2
I. Filtrage fréquentiel .....	2
II. Caractérisation .....	4
TP2 - <b>Points d'intérêt</b> .....	6
I. SIFTs .....	6
II. Points de Moravec : .....	7
III. LBP .....	9
TP3 - <b>Transformée de Hough</b> .....	10
I. Modélisation de segments de droite. ....	10
II. Reconnaissance de segments de droite .....	11
III. Rétroprojection de la transformée de Radon .....	13
TP4 - Transformée en distance. ....	14
I. Modélisation .....	14
II. Reconnaissance .....	14
TP5 - <b>Forêt aléatoire</b> .....	15
TP6 - <b>Cascades de Haar et Yolo</b> .....	16
YOLO .....	19

# TP1 - Caractérisation fréquentielle de la texture

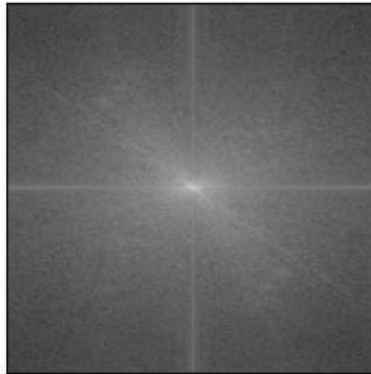
## I. Filtrage fréquentiel

1. Image du spectre de Fourier :

img originale



spectre



2. Image reconstruite :

img originale



img inverse



Le MSE calculé entre les deux images est de 17553

3. Images avec coefficient à 0 :

img originale



img inverse n=50



img originale



img inverse n=100



img originale

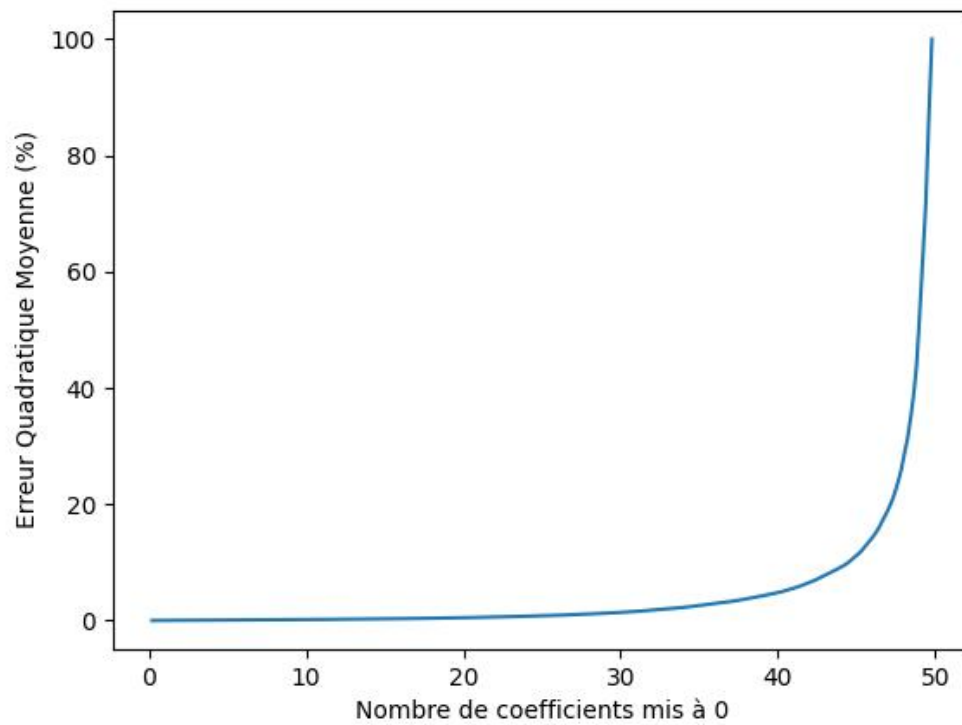


img inverse n=200



On remarque que l'image n=200 est bien détérioré, il y a des «vagues» sur les contours des formes.

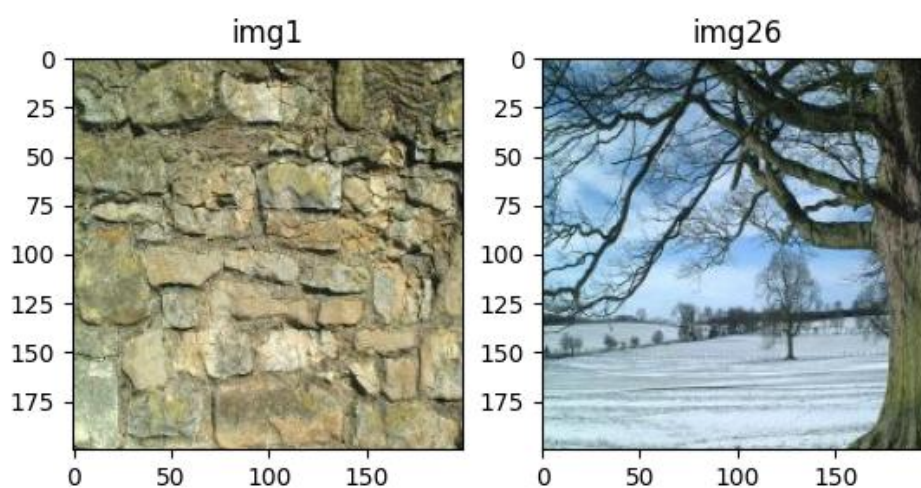
4. Graphe de la MSE en fonction du nombre de coef mit à zero :



## II.Caractérisation

Pour l'image 1 :

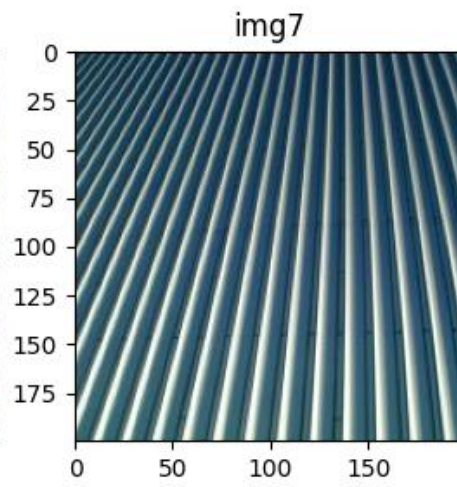
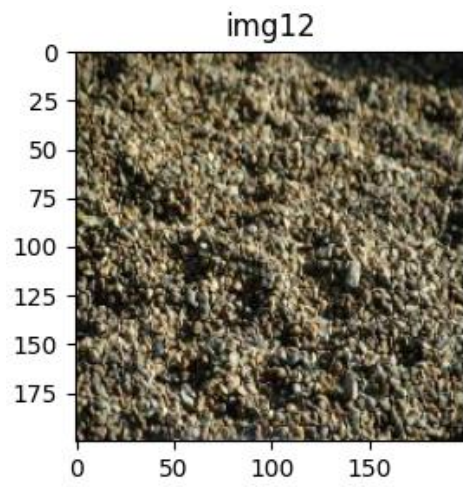
Distance de manhattan min = 249



Autres testes :

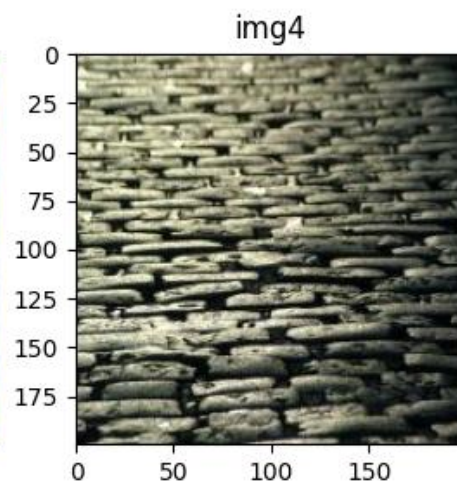
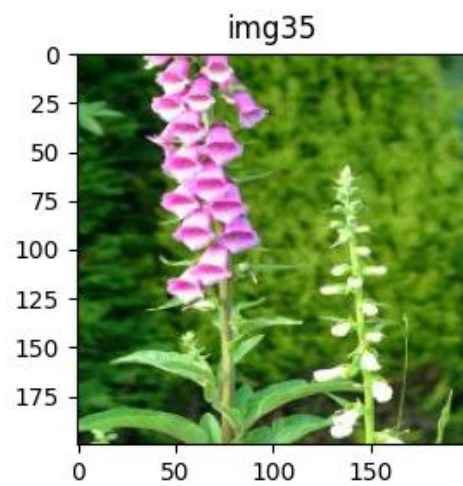
Img 12

Distance min = 35913



Img 35

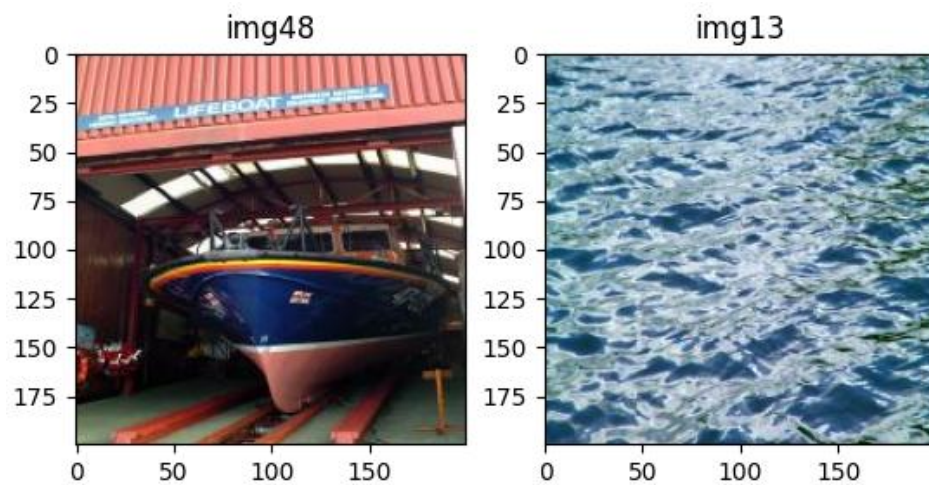
Distance min = 9658





Img 48

Distance min = 8385

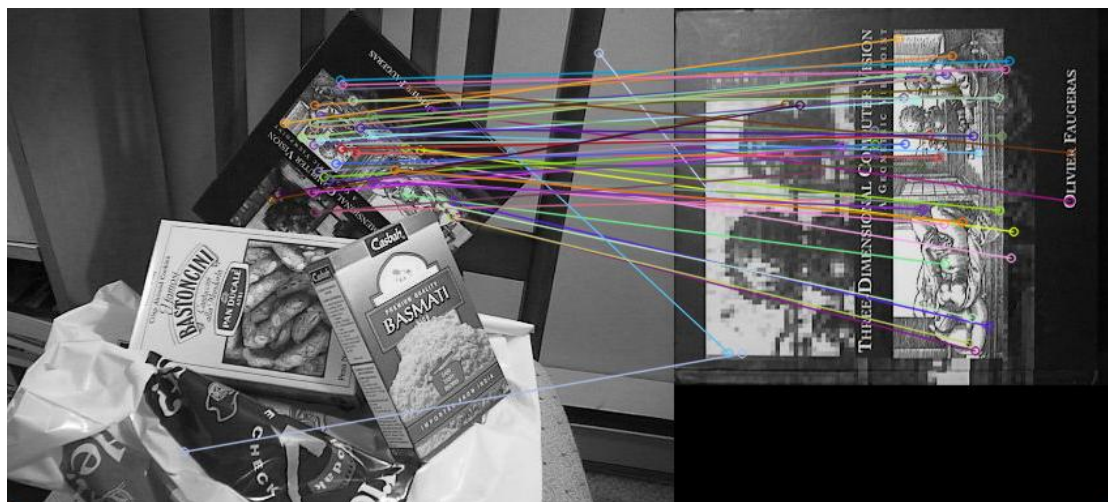


Je ne retrouve pas beaucoup de corrélation au niveau des textures des images testés.

les seuls images qui ont un rapport sont la 35 et la 4 où les feuilles ont le même style de texture que les pavés.

## TP2 - Points d'intérêt

### I. SIFTs





Description du code :

`cv.SIFT_create()` crée un détecteur SIFT.

`detectAndCompute(img, None)` détecte les points d'intérêt (keypoints) et calcule leurs descripteurs.

`k_1, k_2` : listes des points clés détectés.

`des_1, des_2` : matrices contenant les descripteurs SIFT des points clés.

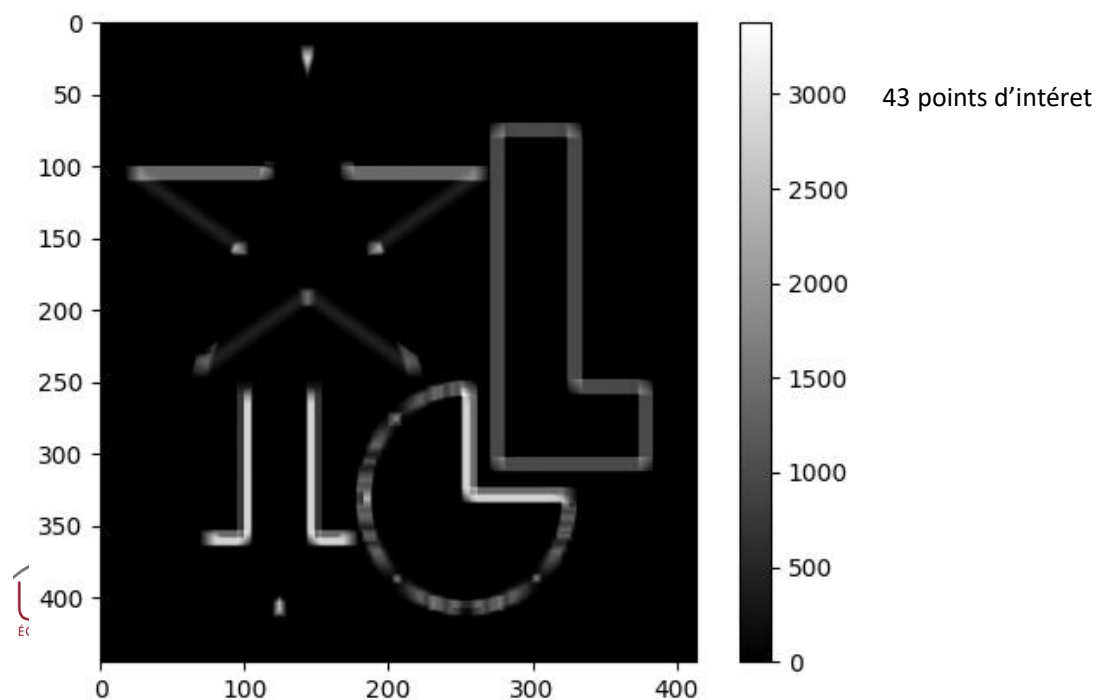
`cv.BFMatcher` (Brute-Force Matcher) est un algorithme d'appariement descripteur par descripteur.

`bf.match(des_1, des_2)` apparie les descripteurs des deux images.

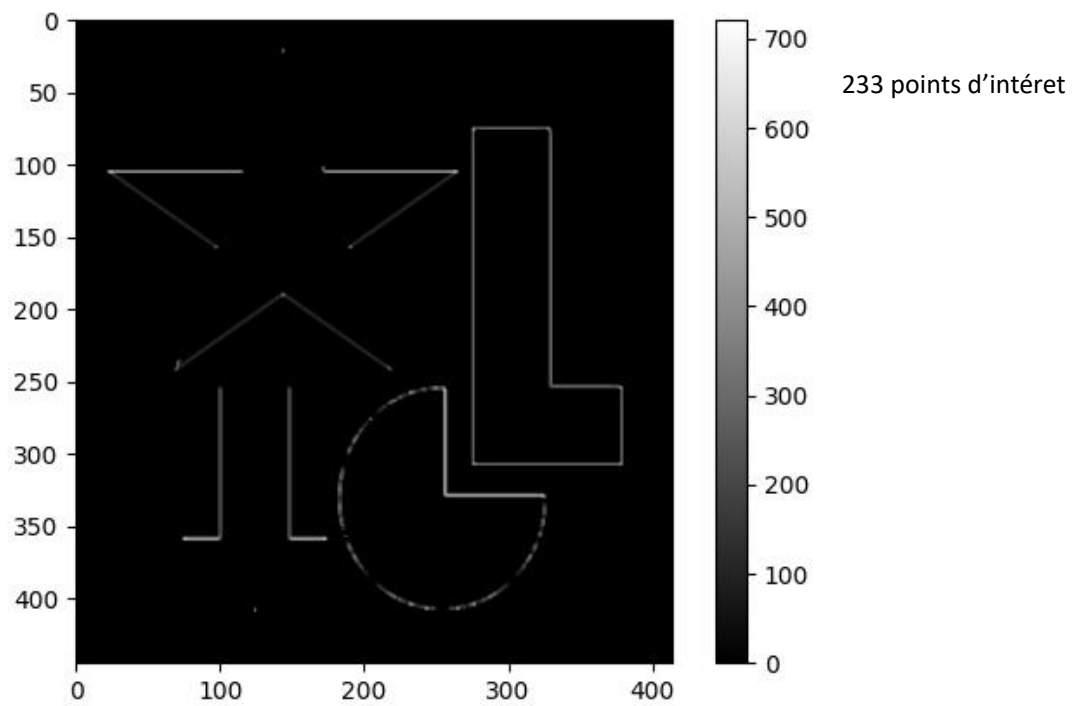
`sorted(matches, key=lambda x: x.distance)` trie les correspondances par distance croissante (les meilleures correspondances en premier).

## II. Points de Moravec :

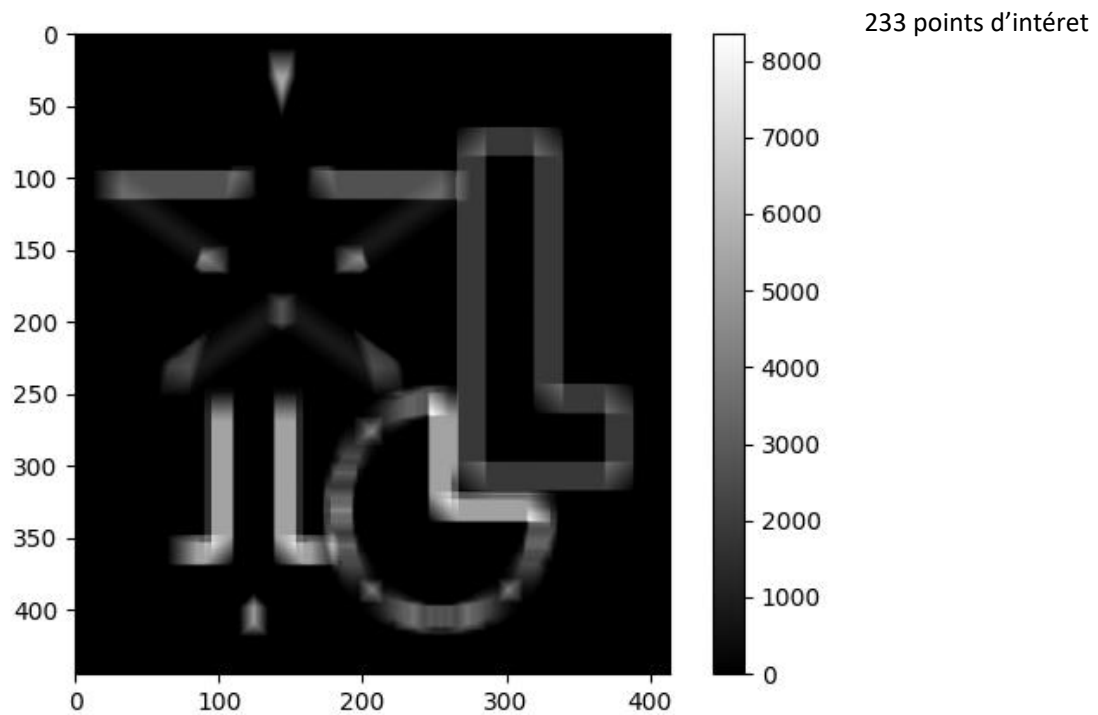
Fenetre de taille 11



fenêtre de taille 3

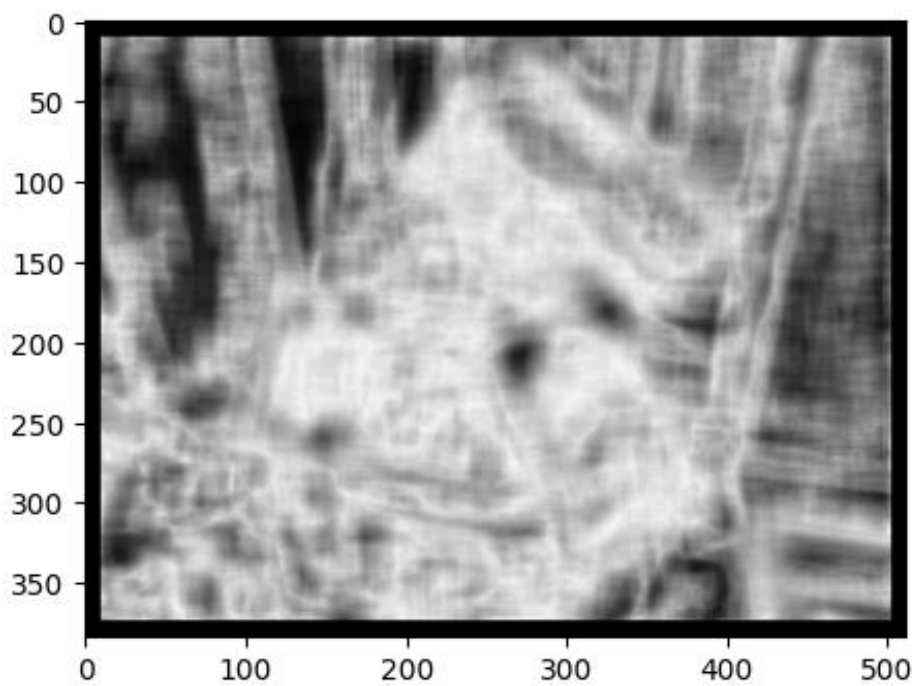


fenêtre de taille 21



sur l'image de la partie 1 en 11 pixels :

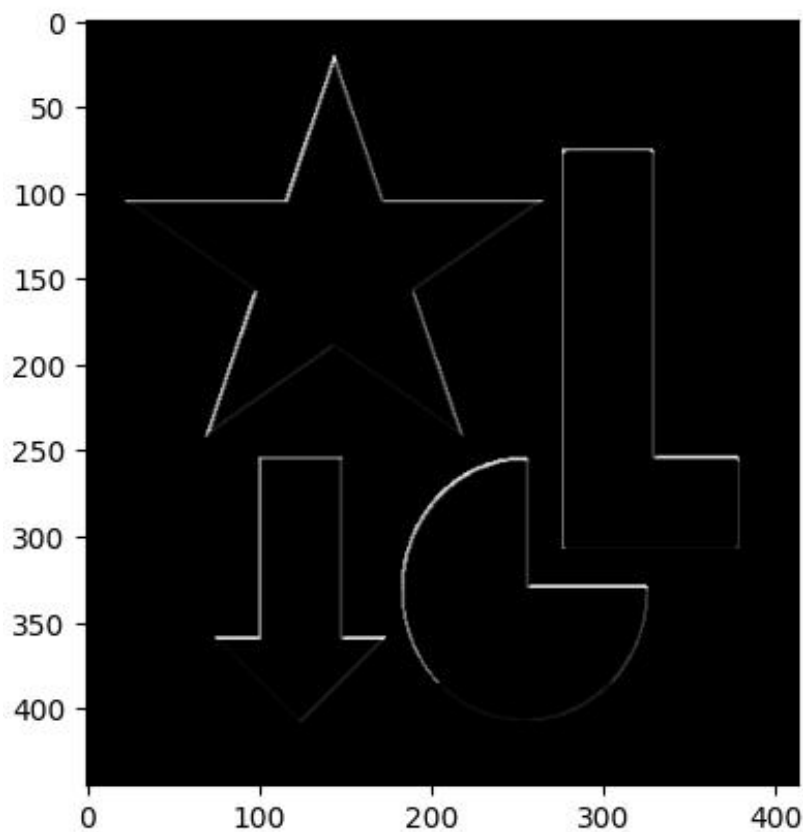




8603 points de moravec

plus le nombre de pixel de voisinage est grand, plus nombreux sont les point de moravec détecté

### III. LBP

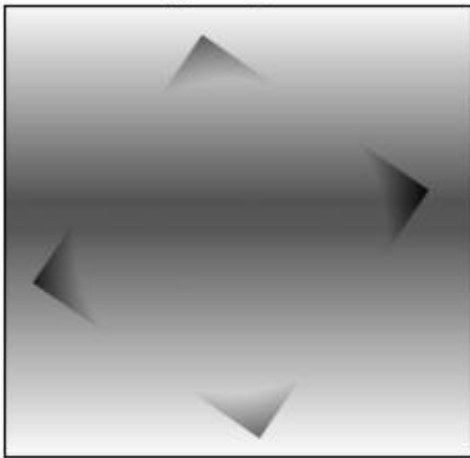


11 point d'intéret

# TP3 - Transformée de Hough

## I. Modélisation de segments de droite.

img originale



img binarisé

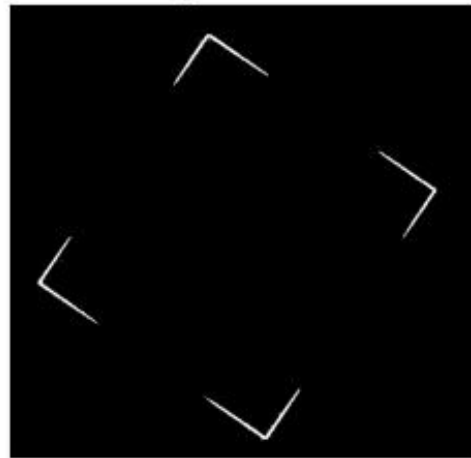
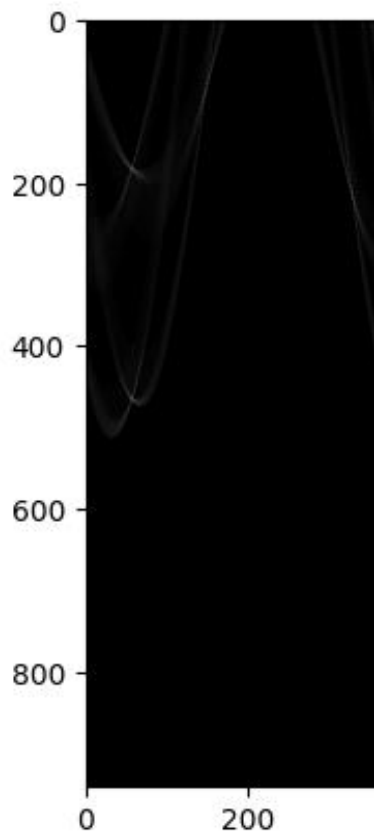
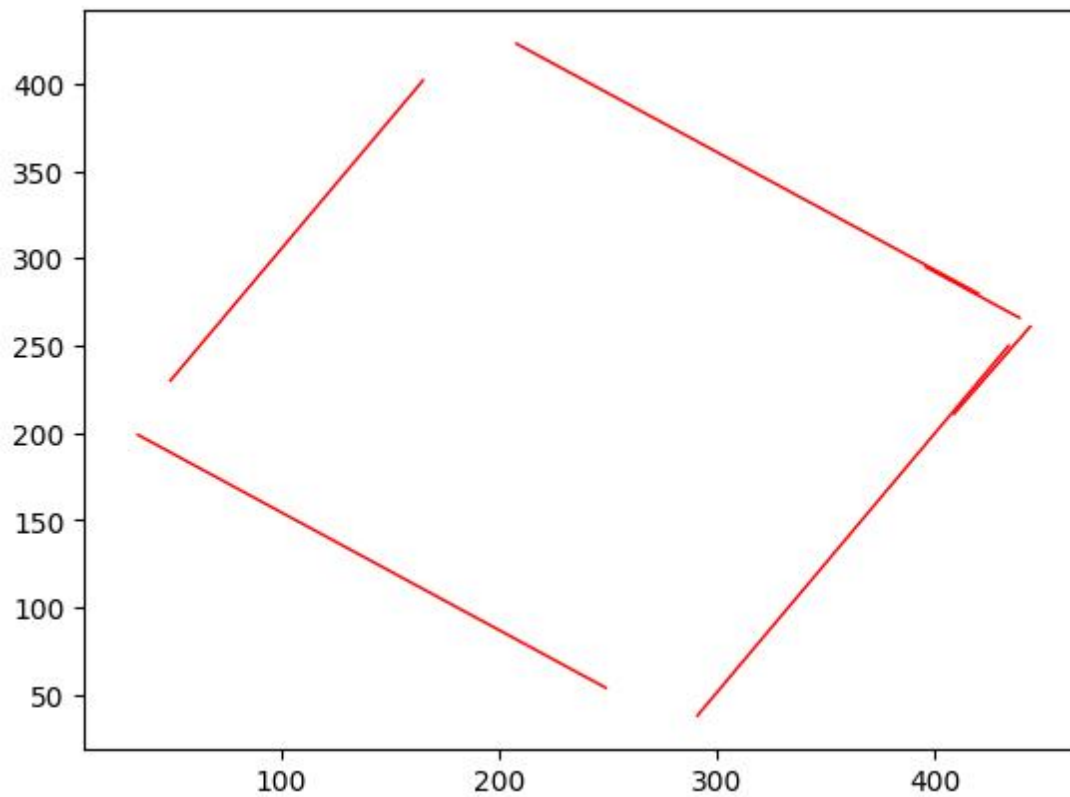


image de Vote :



## II. Reconnaissance de segments de droite



k=10

Point 10 : 467 56 ( 208 , 423 ) ( 420 , 280 )

Point 9 : 183 56 ( 265 , 42 ) ( 265 , 42 )

Point 8 : 93 145 ( 30 , 205 ) ( 30 , 205 )

Point 7 : 184 56 ( 34 , 199 ) ( 249 , 54 )

Point 6 : 219 326 ( 308 , 65 ) ( 308 , 65 )

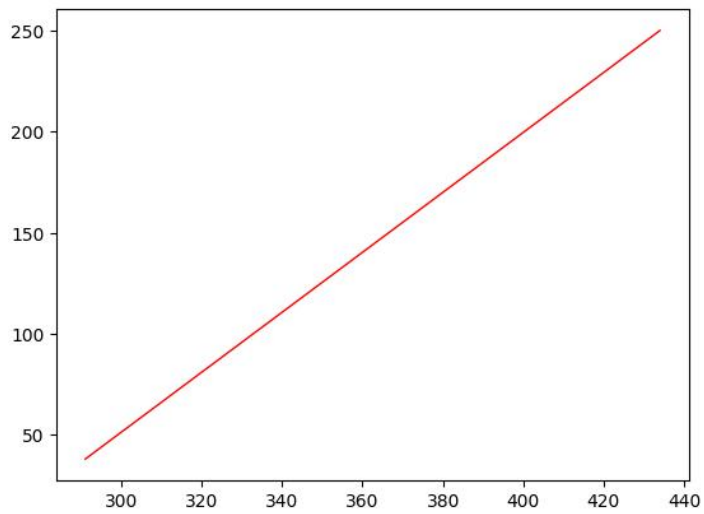
Point 5 : 466 56 ( 396 , 295 ) ( 439 , 266 )

Point 4 : 214 325 ( 409 , 211 ) ( 444 , 261 )

Point 3 : 88 146 ( 49 , 230 ) ( 165 , 402 )

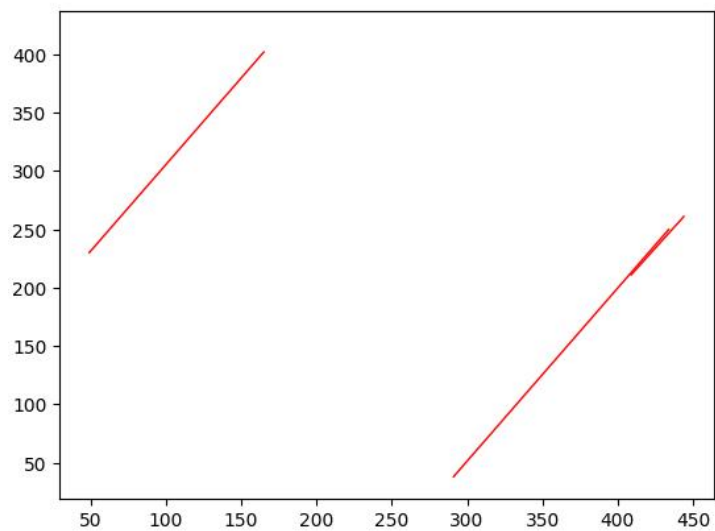
Point 2 : 87 146 ( 177 , 418 ) ( 177 , 418 )

Point 1 : 220 326 ( 291 , 38 ) ( 434 , 250 )



K=1

Point 1 : 220 326 ( 291 , 38 ) ( 434 , 250 )

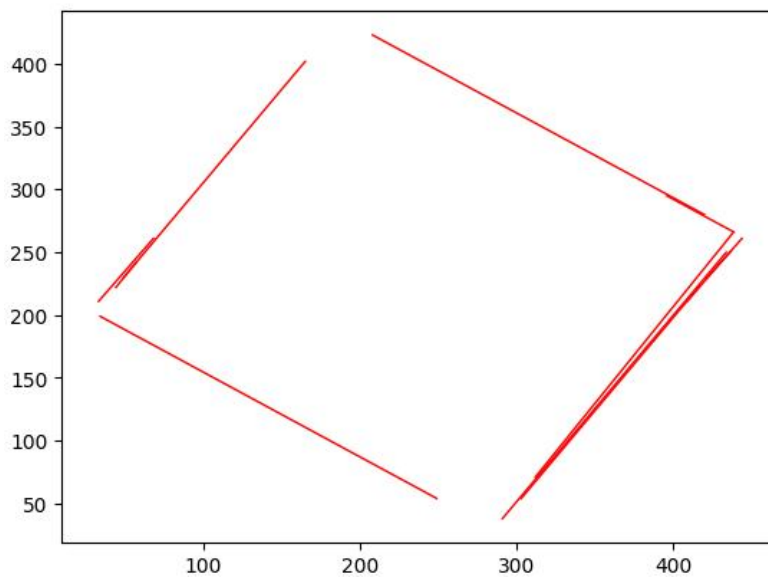


K=4

Point 4 : 214 325 ( 409 , 211 ) ( 444 , 261 )

Point 3 : 88 146 ( 49 , 230 ) ( 165 , 402 )

Point 2 : 87 146 ( 177 , 418 ) ( 177 , 418 )



Point 1 : 220 326 ( 291 , 38 ) ( 434 , 250 )

K= 20

Point 20 : 228 327 ( 442 , 262 ) ( 442 , 262 )  
 Point 19 : 206 324 ( 421 , 229 ) ( 437 , 251 )  
 Point 17 : 84 147 ( 44 , 222 ) ( 57 , 242 )  
 Point 16 : 223 327 ( 312 , 71 ) ( 438 , 265 )  
 Point 15 : 94 145 ( 33 , 211 ) ( 68 , 261 )  
 Point 13 : 215 325 ( 413 , 215 ) ( 413 , 215 )  
 Point 11 : 221 326 ( 303 , 54 ) ( 417 , 223 )  
 Point 10 : 467 56 ( 208 , 423 ) ( 420 , 280 )  
 Point 9 : 183 56 ( 265 , 42 ) ( 265 , 42 )  
 Point 8 : 93 145 ( 30 , 205 ) ( 30 , 205 )  
 Point 7 : 184 56 ( 34 , 199 ) ( 249 , 54 )  
 Point 6 : 219 326 ( 308 , 65 ) ( 308 , 65 )  
 Point 5 : 466 56 ( 396 , 295 ) ( 439 , 266 )  
 Point 4 : 214 325 ( 409 , 211 ) ( 444 , 261 )  
 Point 3 : 88 146 ( 49 , 230 ) ( 165 , 402 )  
 Point 2 : 87 146 ( 177 , 418 ) ( 177 , 418 )  
 Point 1 : 220 326 ( 291 , 38 ) ( 434 , 250 )

### III. Rétroprojection de la transformée de Radon

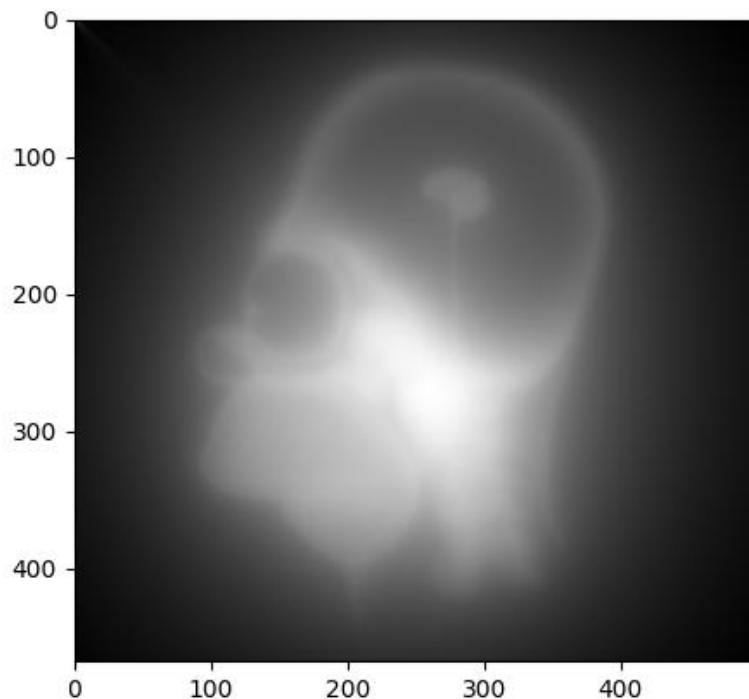


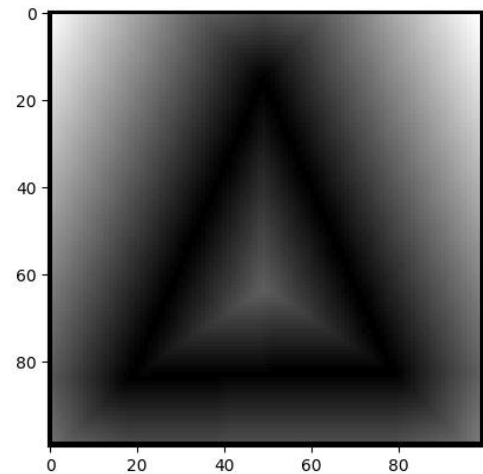
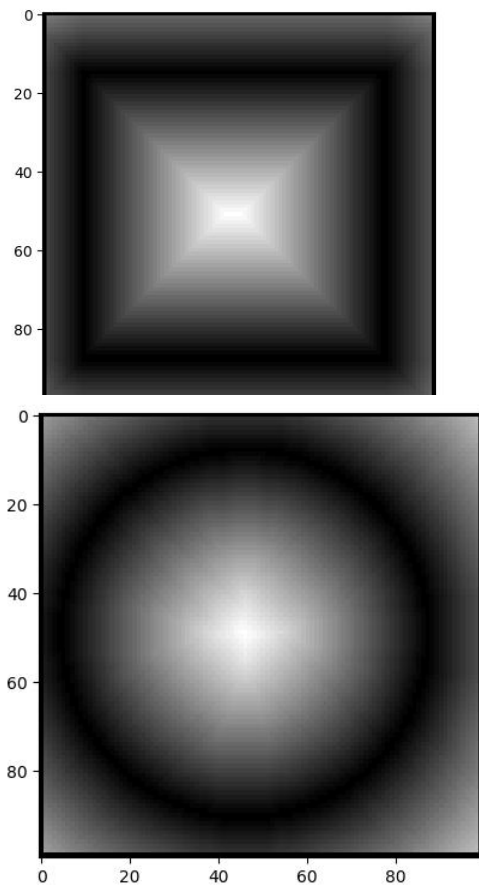
image de radon  
reconstruite

l'organe est un cerveau !



# TP4 - Transformée en distance.

## I. Modélisation



Transformées en distance calculées avec ce masque :

[[4. 3. 4.]  
[3. 0. 3.]  
[4. 3. 4.]]

## II.Reconnaissance



Reco en cercle



Reco en cercle



reco en Triangle

Une erreur avec le carré reco en cercle.

```
carre: {'triangle2': 66577497.0, 'carre2': 69139059.0, 'cercle2': 69553092.0}
triangle: {'cercle2': 101068827.0, 'carre2': 101641816.0, 'triangle2': 105029518.0}
cercle: {'triangle2': 76482353.0, 'carre2': 78693061.0, 'cercle2': 79128188.0}
Score le plus haut = forme reconnu
```

## TP5 - Forêt aléatoire

Je calcule 3301 haar features sur les images avec un bloc 10x10 pixels

Je n'ai pas réussi le restes des exercices de ce TP

## TP6 - Cascades de Haar et Yolo

Teste sur un visage :

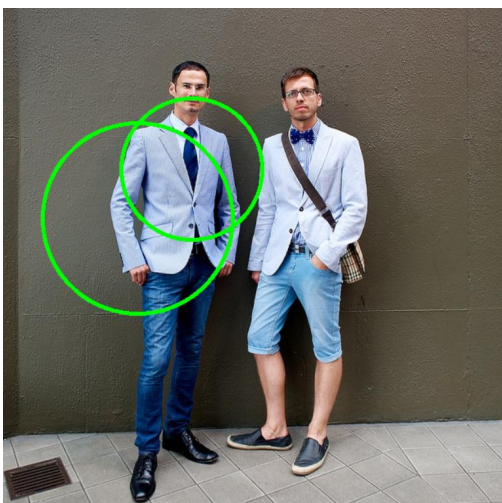


Teste visage + yeux :



On remarque beaucoup d'erreur de détection sur un fond chargé.

Détection de corps entier:



Elle aussi n'est pas très précise.

Précision des cascades :

```
{
  "body + faces": {
    "positif": 261,
    "negatif": 121,
    "accuracy": 68.32460732984293,
    "recall": 52.2
  },
  "faces only": {
    "positif": 195,
    "negatif": 64,
    "accuracy": 75.2895752895753,
    "recall": 39.0
  },
}
```

La cascade du visage à 20 niveaux de 9 classifieurs faibles chacun.

Évolution de l'accuracy par niveaux supprimé :

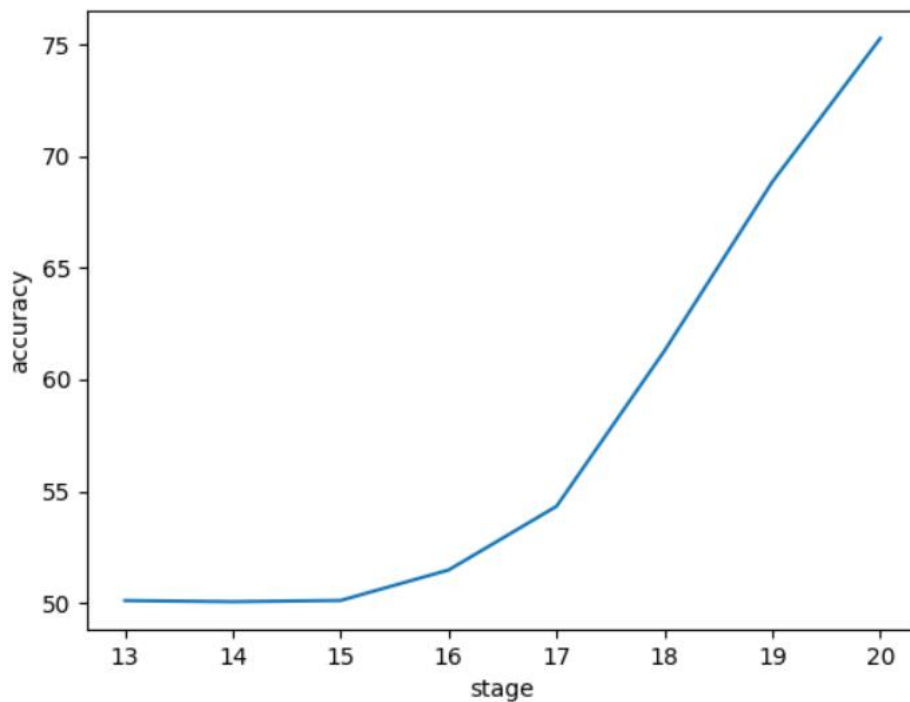
```
"faces whithout stage 19": {
  "positif": 230,
  "negatif": 104,
  "accuracy": 68.8622754491018,
  "recall": 46.0
},
"faces whithout stage 18": {
  "positif": 285,
  "negatif": 180,
  "accuracy": 61.29032258064516,
  "recall": 56.99999999999999
},
"faces whithout stage 17": {
  "positif": 358,
  "negatif": 301,
  "accuracy": 54.3247344461305,
  "recall": 71.6
},
"faces whithout stage 16": {
  "positif": 420,
  "negatif": 396,
  "accuracy": 51.470588235294116,
  "recall": 84.0
},
}
```

```

"faces whithout stage 15": {
  "positif": 471,
  "negatif": 469,
  "accuracy": 50.10638297872341,
  "recall": 94.19999999999999
},
"faces whithout stage 14": {
  "positif": 490,
  "negatif": 489,
  "accuracy": 50.05107252298263,
  "recall": 98.0
},
"faces whithout stage 13": {
  "positif": 497,
  "negatif": 495,
  "accuracy": 50.1008064516129,
  "recall": 99.4
}

```

L'accuracy diminue quand on supprime les niveaux mais semble stagner à partir de la suppression du 15eme niveau. Les différents niveaux jouent donc un rôle dans l'efficacité de la détection. L'accuracy n'est pas une bonne mesure de performance seule, et est souvent couplée au recall dans le F1 score.





# YOLO

Dans la description des classes, «person» se trouve sur la 1er ligne.

Sur la base de testes l'accuracy du modèle yolo est de 50.07 %